

تحلیل جنبش شناختی بودین‌های نامتقارن گستره دورود، غرب پهنه سندج-سیرجان

سمیه دریکوند^(۱)

۱. استادیار زمین‌شناسی (تکتونیک)، گروه زمین‌شناسی، دانشکده علوم پایه، دانشگاه لرستان

تاریخ دریافت: ۱۴۰۳/۰۸/۰۶

تاریخ پذیرش: ۱۴۰۳/۰۹/۰۳

چکیده

داده‌های ساختاری از بودین‌های نامتقارن و سنگ‌های گرنیت-میلوانیتی در ناحیه دورود، شاخص‌های خوبی برای تخمین کمی و انتش نهایی، عدد تاوایی (W_k) و در نهایت تحلیل جنبش شناختی الگوی دگرشکلی گستره مورد مطالعه می‌باشدند. این گستره بخشی از پهنه سندج-سیرجان است و در کمربند کوهزایی زاگرس واقع شده است. انواع بودین‌های نامتقارن دومینو و نوار برشی در لایه‌های کوارتزی دگرشکل شده مرتبط با گرانیت میلوانیت، میکا شیست و سنگ‌آهک ایجاد شده‌اند. بودین‌های نوار برشی با چرخش به عقب و بودین‌های دومینو با چرخش رو به جلو، هر دو جهت برشی راست‌گرد را نشان می‌دهند. پورفیروکلاستهای غلافی موجود در گرانیت-میلوانیت‌ها نیز جهت برشی راست‌گرد را تایید می‌کنند. عدد تاوایی جنبش شناختی (W_m) با استفاده از روش‌های توزیع هذلولی بودین نامتقارن و الگوهای فابریک محور ۶ کوارتز برآورده شدند. W_m محاسبه شده از روش‌های توزیع هذلولی بودین نامتقارن و الگوهای فابریک محور ۶ کوارتز، تربکی از ۳۰ درصد تا ۴۸ درصد مولفه برش ساده و ۵۲ درصد تا ۷۰ درصد مولفه برش محض را نشان می‌دهند. نتایج به دست آمده نشان می‌دهند بودین‌های نامتقارن روش مناسبی برای تخمین عدد تاوایی می‌باشند. این تحلیل‌های کمی نشان‌دهنده دگرشکلی برشی عمومی توسعه‌یافته در امتداد کمربند دگرگونی سندج-سیرجان است که در رژیم جریان ترافشارشی همراه با کوتاه شدن شدگی عمود بر مرز ناحیه برشی به وجود آمده است.

واژه‌های کلیدی: برش عمومی، بودین، تاوایی، جریان ترافشارشی، کمربند کوهزایی زاگرس.

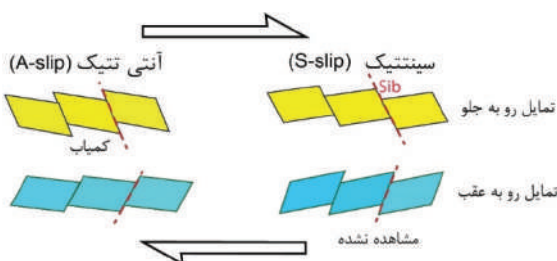
مقدمه

هنرهای برشی ترافشارشی از ویژگی‌های تغییر شکل رایج در بسیاری از مناطق تکتونیکی هستند و بخش قابل توجهی از انتش را در مزهای صفحه همگرایی مورب، در خود جای می‌دهند. در طول همگرایی مورب، صفحات لیتوسفری در اثر کوتاه شدن شدگی و تغییر شکل ترافشارشی قرار می‌گیرند (Tikoff and Teyssier, 1994) و منجر به شکل‌گیری کمربند کوهزایی گسترهای می‌شود. بردار انتقال تکتونیکی یک پارامتر موثر برای تعیین هندسه و جنبش‌شناسی تغییر شکل است. رژیم ترافشارشی در هر دو پهنه‌های برشی

* نویسنده مرتبط: derikvand.so@lu.ac.ir

(Goscombe and Passchier, 2003) and Passchier, 2003)؛ الف) بودین‌های کشیده شده، ب) بودین‌های برشی، ج) بودین‌های تکه شده، د) بودین‌های کشیدگی و ی) بودین‌های دومینو. (Hanmer, 1986) دو رده جنبش شناختی را برای بودین‌ها معرفی کرد: ۱) بودین‌های نامتقارن، که لغزش را روی سطوح بین بودین تجربه نمی‌کنند، و ۲) بودین‌های نامتقارن، با لغزش روی سطوح بین بودین، که با توجه به جهت پرش اصلی می‌توانند سیننتیک یا آنتی‌تیک^۱ باشند (Johnson, 2009). بودین‌های نامتقارن نوار برشی و دومینو به عنوان یک نشانگر جنبش شناختی با چرخش رو به جلو یا عقب تشکیل می‌شوند (شکل ۱). چرخش بلوك‌های بودین نامتقارن در سنگ‌های دگر‌شکل شده پلاستیک برای استنباط درجه غیر هم محوری و تاوایی استفاده می‌شود (Goscombe and Passchier, 2003).

بودین‌های نامتقارن در گستره مطالعاتی فراوان هستند و می‌توانند به عنوان یک ابزار مهم برای تحلیل جنبش شناختی عدد تاوایی استفاده شوند. این مطالعات به زمین شناسان درک بهتری از نوع و شدت رفتار دگر‌شکی در گستره مورد مطالعه خواهد داد. این پژوهش به منظور بررسی و توصیف عناصر ساختاری و فابریک‌ها، تحلیل هندسی بودین‌های نامتقارن با تمایل رو به جلو و تمایل رو به عقب و تحلیل جنبش شناختی بودین‌های نامتقارن و فابریک محور^۲ کوارتز به منظور تخمین عدد تاوایی صورت می‌گیرد. همچنین این مطالعه به ارزیابی پدیده بخش‌بندی رژیم واتنش در گستره مورد مطالعه می‌پردازد.



شکل ۱. شکل‌های شماتیک دو بعدی چهار دسته از بودین‌های نامتقارن. لغزش سیننتیک و لغزش آنتی‌تیک با تمایل رو به جلو یا عقب. لغزش سیننتیک بودین با تمایل رو به جلو هرگز مشاهده نمی‌شود. لغزش آنتی‌تیک بودین با تمایل رو به عقب نادر است (Goscombe and Passchier, 2003)

1. S-slip
2. A-slip

الاستیک و پلاستیک عمل می‌کند، به طوری که صفات همگرایی با یک حرکت زاویه‌ای به طرف مرزهایشان گسل و پهنه‌های برشی را در پاسخ به فرایندهای تکتونیکی به وجود می‌آورند (Jones et al., 2004). ترافشارش با ترکیبی از حرکت امتدادگز و کوتاه شدنگی عمود بر آن که به طور هم‌زمان رخ می‌دهند، در تشکیل ویژگی‌های ساختاری عمل می‌کند (Fossen et al., 1994; Carreras et al., 2013). سیستم‌های ترافشارش در بخش‌های مختلف کمریند دگرگونی سندنج-سیرجان به عنوان بخشی از کمریند e.g. Mohajjel et al., 2003; Sarkarnejad and Azizi, 2008; Shafiei Bafti and Mohajjel, 2015; Derikvand, 2022 و همکاران، ۱۳۹۸). پهنه‌های برشی و ساختارهای مرتبط با رخنمون‌های دگرگونی، تاریخچه تغییر شکل و جنبش‌شناسی را در سطح میکروسکوپی و مزوسکوپی ثبت می‌کنند. در دو دهه گذشته، مطالعات متعددی بر تخمین کمی جنبش شناختی تاوایی در سنگ‌های تغییر شکل یافته با استفاده از معیارهای تاوایی متمرکز شده‌اند (Xypolias 2010; Law 2010; Sarkarnejad and Derikvand 2017) در کوهزایی زاگرس، سنگ‌های دگرگونی سندنج-سیرجان در پس بوم پهنه برخورده زاگرس با ضخامت حدود ۲۰۰ کیلومتر نمایان شده‌اند. تحلیل کمی جنبش شناختی تاوایی و الگوی واتنش پوسه بالایی و میانی در کمریند کوهزایی زاگرس هدف تحقیق اخیر است. گستره مورد مطالعه در کمریند دگرگونی سندنج-سیرجان با رخنمون‌هایی که حاوی ویژگی‌های ساختاری قابل تشخیص مانند بودین‌های نامتقارن هستند و می‌توانند برای ارزیابی پارامترهای جنبش شناختی مورد استفاده قرار گیرند. ساختارهای بودین موضوع تحقیقات گستره‌ای از زمین شناسان ساختاری هستند (شیخ‌الاسلامی، ۱۳۹۸؛ Ramsay, 1967; Hanmer and Passchier, 1991; Swanson, 1992; Goscombe et al., 2004; Warren, 2008; Derikvand et al., 2023) و اطلاعات پژوهشی مهمی از ویژگی‌های مکان‌های قدیمی مختلف را می‌توان از این مطالعات بازیابی کرد. بر اساس هندسه بودین‌ها، پنج نوع بودین توصیف شد (Goscombe

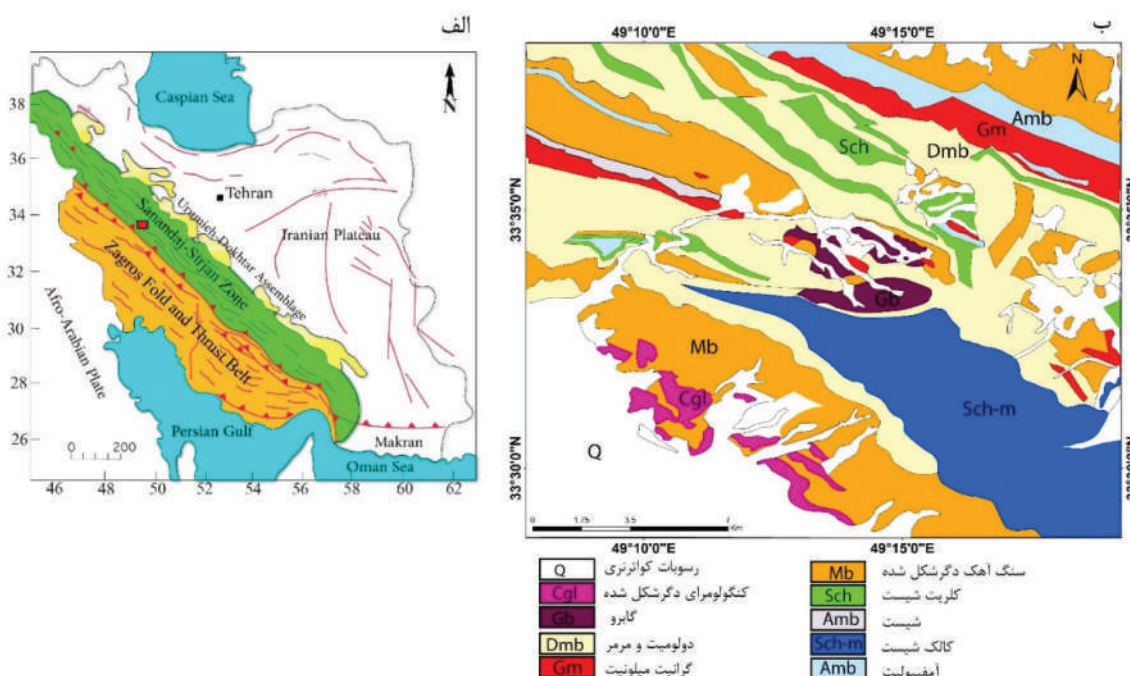
(Alavi, 1994): کمریند چین خورده-رانده زاگرس، پهنه سنندج-سیرجان و مجموعه ارومیه-دختر (شکل ۲-الف). پهنه سنندج-سیرجان با روند شمال غرب-جنوب شرق سنگ‌های دگرگونی از درجه پایین تا درجه بالا را در برمی‌گیرد. گستره مورد مطالعه در بخش پس بوم کمریند کوه‌زایی زاگرس و در پهنه سنندج-سیرجان، در نزدیکی دورود واقع در شمال شرق استان لرستان واقع شده است. نقشه‌های زمین‌شناسی قبلی گستره مورد مطالعه اصلاح شده و نقشه زمین‌شناسی تهیه شده است (شکل ۲-ب). سنگ‌های دگرگونی شامل گرانیت میلیونیت، آمفیبولیت، کالک‌شیست، دولومیت و سنگ‌آهک، کلریت شیست، سنگ‌آهک‌های دگرشكل شده، کنگلومراي دگرشكل شده هستند.

به‌طورکلی ساختارها به سه فاز تغییر شکل نسبت داده می‌شوند (Sarkarnejad and Derikvand, 2017). چندین نسل از ساختارها طی سه مرحله تغییر شکل ایجاد شدند. چین‌های بودینی شده، بودین‌های چین خورده، چین‌های هماهنگ و ناهمانگ رایج هستند. الگوهای تداخلی چین خورده‌گاهی مکرر در سنگ‌آهک‌های دولومیتی و کالک‌شیست‌ها مشاهده می‌شود. از ساختارهای دگرشكى

ویژگی‌های زمین‌شناسی و تکتونیکی

رخنمون‌های سنگ‌های دگرشكل شده در گستره دورود در غرب ایران واقع شده‌اند. این ناحیه بخشی از کمریند دگرگونی سنندج-سیرجان است و در کمریند کوه‌زایی زاگرس قرار دارد (شکل ۲). کمریند کوه‌زایی زاگرس بخشی از کوه‌زایی برخوردی آلپ-هیمالیا است (Ricou, 1971; Stöcklin, 1968; Berberian and King, 1981). این کمریند کوه‌زایی پیچیده با روند شمال غربی-جنوب شرقی حدود ۲۰۰۰ کیلومتر تا جنوب ایران گسترش دارد (Stöcklin, 1968). کمریند کوه‌زایی زاگرس نتیجه بسته شدن نفوذتیس به‌طور عمده به دلیل فروزانش پوسته اقیانوسی در امتداد یک پهنه فروزانشی با شبیه به سمت شمال شرق، به زیر ایران مرکزی و متعاقب آن برخورد بین قاره آفریقا-عربی و خرد (Alavi, 1994; Mohajjel and Fergusson, 2000) می‌دهد، همگرایی امروزه با نرخ 22 ± 2 میلی‌متر در سال ادامه دارد (Vernant et al., 2004).

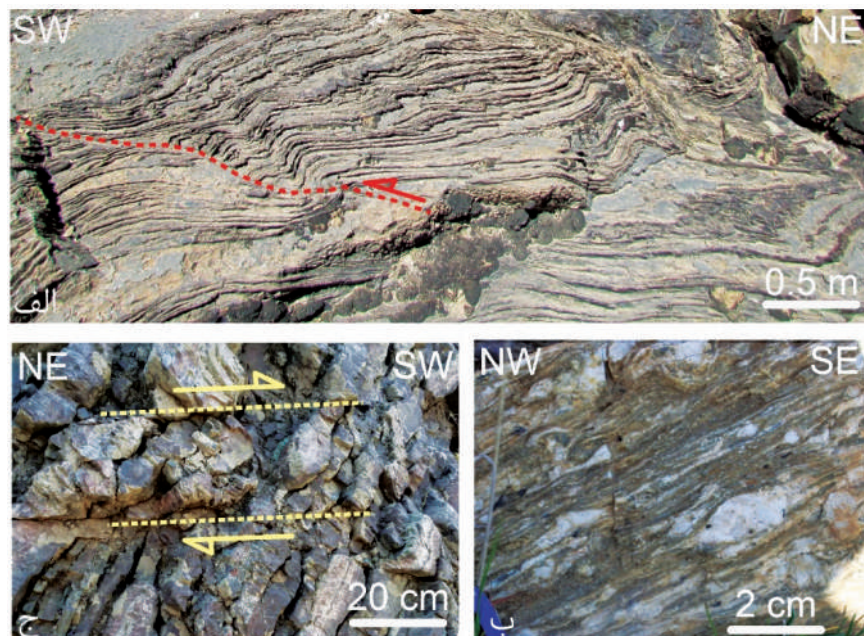
کمریند کوه‌زایی زاگرس به سه پهنه تغییر شکل یافته موازی اصلی، از جنوب غربی تا شمال شرقی تقسیم شده است



شکل ۲. (الف) تقسیم‌بندی ساختاری کمریند کوه‌زایی زاگرس در غرب ایران. موقعیت گستره مورد مطالعه با یک مستطیل قرمز رنگ نشان داده شده است. (ب) نقشه زمین‌شناسی گستره مورد مطالعه

برد. ساختارهای اصلی به طور عمده در راستای شمال غربی-جنوب شرقی واقع شده‌اند.

این گستره می‌توان سیستم‌های راندگی فلزی، چین‌های مرتبط با گسل خوردگی (شکل ۳-الف)، پورفیروکلاست‌های غلافی (شکل ۳-ب) و ساختار دوپلکس (شکل ۳-ج) را نام



شکل ۳. الف) چین خوردگی مرتبط با گسل خوردگی. خط هاشور قرمز رنگ موقعیت گسل را نشان می‌دهد، ب) پورفیروکلاست‌های غلافی در سنگ‌های گرانیتی-میلونیتی، ج) ساختار دوپلکس

روش‌های مطالعه

بیضی واتنش نهایی و صفحه XY هستند. تحلیل الگوهای محور ۶ کوارتز با استفاده از یک میکروسکوپ پلاریزان مجهر به دستگاه یونیورسال پنج محوره لیتز انجام شد. به طور متوسط ۳۵۴ دانه کوارتز تبلور مجدد در سه نمونه جهت یافته سنگ‌های گرانیتی-میلونیتی اندازه‌گیری شد.

تاریخچه دگرشكلي

بخش پس بوم کمربند کوه‌زایی زاگرس سه مرحله تغییر شکل را پشت سر نهاده است و به صورت D3، D2، D1 و D3' (Sarkarnejad and Derikvand, 2017) تعریف شده‌اند. تعیین سن با استفاده از روش سن سنگی $^{40}\text{Ar}/^{39}\text{Ar}$ بر روی دانه‌های بیوتیت در گنیس 117.95 ± 0.88 و 112.58 ± 0.66 میلیون سال در نظر گرفته شده است که مربوط به برخورد بین صفحات آفرو-عربی و ایران در طول

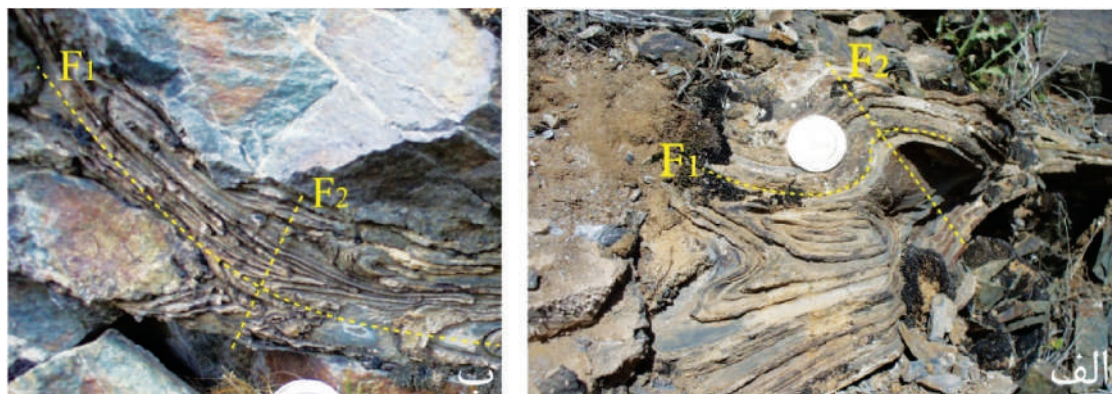
در این پژوهش بر اساس مشاهدات میدانی و داده‌های ساختاری، تحلیل ویژگی‌های هندسی بودین‌ها، الگوی محور ۶ کوارتز، واتنش نهایی و عدد جنبش شناختی تواویی در ناحیه دورود انجام شده است. برای تحلیل هندسی بودین‌های با چرخش رو به عقب و جلو، پارامترهای هندسی ۷۸ بودین دومینو و ۸۲ بودین باند برشی اندازه‌گیری شد. در تحلیل واتنش نهایی، هر دو نسبت ابعاد و زاویه φ در سه مقطع نازک برای حدود ۷۵ دانه فلدسپار دگرشكلي یافته از گرانیت میلونیتها اندازه‌گیری شد. با استفاده از نرم افزار اکسل (Chew, 2003) Rf/Φ نمودارهای Rf/Φ رسم شدند. برای رسم الگوی محور ۶ کوارتز، سه نمونه جهتدار از سنگ‌های گرانیتی-میلونیتی جمع‌آوری شد (شکل ۲). نمونه‌های جهتدار و مقاطع نازک عمود بر برگوارگی و موازی با خطوارگی (صفحه XZ) تهیه شدند. خطوارگی‌های کشیدگی و صفحات برگوارگی به ترتیب نشان‌دهنده محور X

1. Leitz 5-axis universal stage

چین خورده‌های مکرر

بسیاری از چین خورده‌های مزوسکوبی بر روی سنگ‌آهک دولومیتی و کالک شیست در گستره مورد مطالعه به خوبی توسعه یافته‌اند. چین خورگی‌های مکرر، الگوهای تداخلی نوع یک، دو و سه را تشکیل می‌دهند (Ramsay, 1967). این الگوهای تداخلی منجر به روی هم قرار گرفتن چین‌های نسل یک و دو می‌شود. شکل (۴-الف و ب) به ترتیب چین خورده‌های مکرر با الگوی تداخلی نوع دو و سه را نشان می‌دهد که در اثر چین خورده‌ی سطح محوری F2 بر روی سطح محوری F1 قرار دارد. چاپ شدن دگرشکلی D3 بر روی دگرشکلی‌های D1 و D2 منجر به دگرشکلی‌های پیچیده‌ای می‌شود.

دگرشکلی D1 می‌باشد (Sarkarinejad et al., 2009) سن سنجی $^{39}_{\text{Ar}}/\text{Ar}^{40}$ ۹۰/۱۸ ± ۱/۳۴ ± ۸۷/۰۹ میلیون سال و دگرشکلی D2 می‌باشد (Sarkarinejad et al., 2009) فاز دگرشکلی D2 با فرازنش افیولیت‌ها بر روی صفحه قاره‌ای همراست. بیروزن زدگی‌های سفره‌های میلیونیتی به‌وسیله پهنه‌های برشی درگیر با پی‌سنگ، چین خورده‌های مرتبط با گسل خورده‌ی و تشکیل باندهای برشی S/C در کلیواژهای کنگرهای توسط فاز نهایی D3 رخ داده‌اند (Sarkarinejad et al., 2017).



شکل ۴. نمونه‌هایی از الگوی چین خورده‌ی مکرر در سنگ‌آهک دولومیتی، (الف) چین خورده‌ی مکرر نوع ۲، (ب) چین خورده‌ی مکرر نوع ۳. اثر سطح محوری را نشان می‌دهد

بودین‌های دومینو

شبیه به پورفیروکلاستهای غلافی هستند (Passchier, 1988) نامگذاری شدند و شامل (الف) بودین‌های کششی¹ نامتقارن نوع یک (Goldstein, 1986; Goldstein, 1988; and Simpson, 1986) و (ب) بودین‌های شکستگی کششی یا هندسه‌های چرخشی رو به جلوی عمود بر رگه‌های (Hanmer, 1986) هستند. نمونه‌هایی از بودین‌های دومینو در شکل (۵-س، ط و ع) نشان داده شده‌اند.

(Etchecopar, 1977) نامگذاری شدند و شامل (الف) بودین‌های کششی¹ نامتقارن نوع یک (Hanmer, 1986) و (ب) بودین‌های شکستگی کششی یا هندسه‌های چرخشی رو به جلوی عمود بر رگه‌های (Hanmer, 1986) هستند. نمونه‌هایی از بودین‌های دومینو در شکل (۵-س، ط و ع) نشان داده شده‌اند.

بودین‌های نوار برشی

بودین‌های نوار برشی در گستره مورد مطالعه نامتقارن هستند و با ظاهر لوزوی گرد شده تا عدسی شکل،

1. Pull-apart boudins

2. Drawn boudin

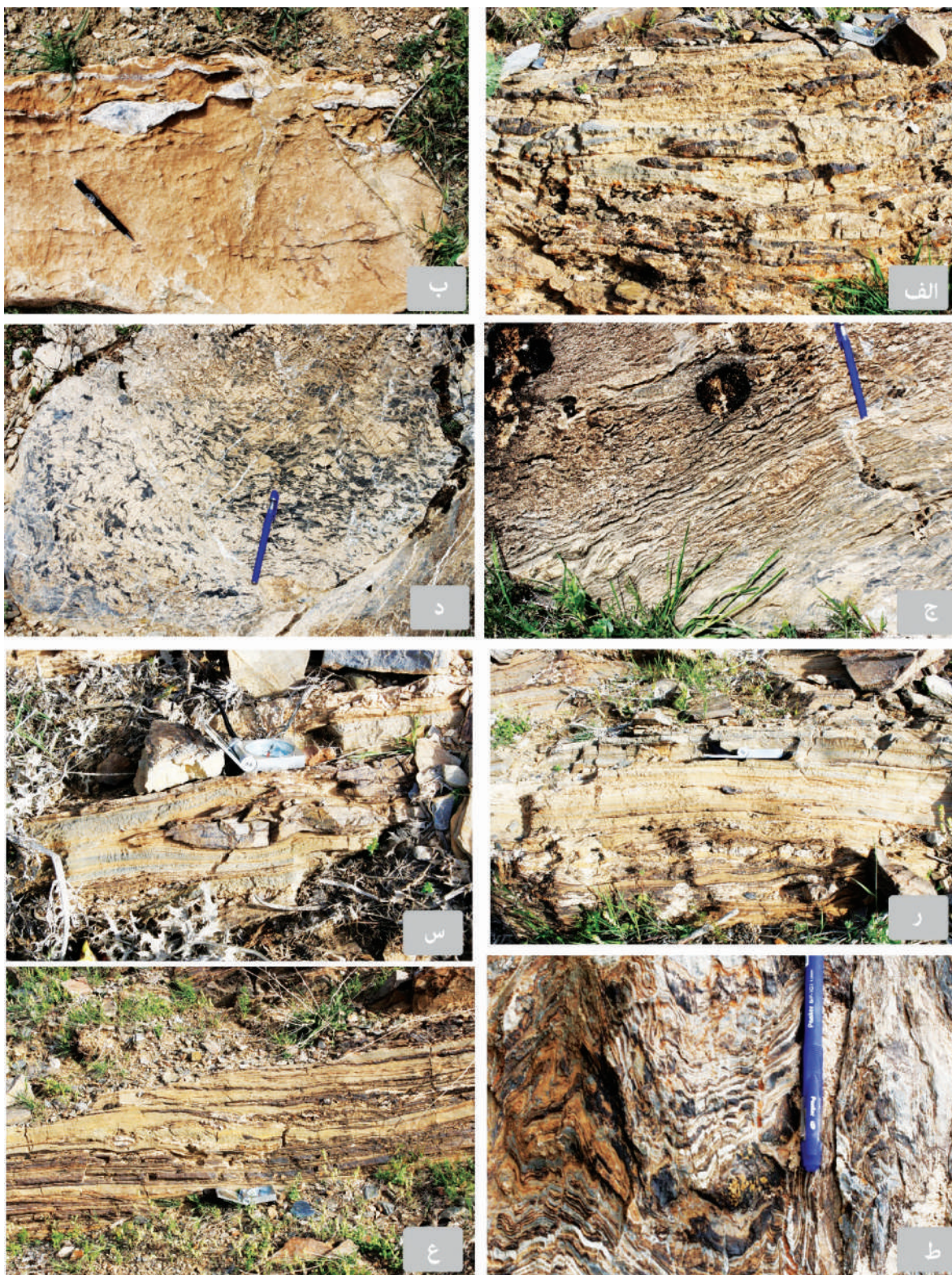
Mandal and Khan, 1991; Goscomb and Passchier, 2003). در این مطالعه هندسه بودین‌ها در صحرا یا از طریق عکس طبقه‌بندی و تعیین می‌شوند. اندازه‌گیری از عکس‌ها همانند اندازه‌گیری‌های میدانی دقیق انجام شده‌اند. اختلاف بین میانگین اندازه‌گیری‌ها از رخنمون و عکس از همان ساختار برای پارامترهای زاویه‌ای حدود 1 ± 1 درجه و برای پارامترهای طولی یک الی دو سانتی‌متر است. در این مطالعه از مجموعه‌های نام‌گذاری پارامترهای هندسی استفاده شده است (Rodrigues et al., 2016). این پارامترها عمود بر گردن بودین در بلوک‌های بودین شده منفرد مشاهده کرد (شکل ۶). پهنه بین بودین را می‌توان به عنوان سطح بین بودین در هر نوع بودین مشخص کرد. Sib. یک سطح مایل مشخص است و با سطح بودین مطابقت دارد. در طول بودین، Sib‌ها به صورت جانبی جایجا شده‌اند و به موازات سطح همپوشانی (Se) در لبه بودین خم می‌شوند (برگوارگی، شکل ۶). این سطح مانند گسلی است که دو بخش انتهایی بودین را به سمت بیرون (سطح اصلی ساختار بودین در تماس با سنگ میزان) قطع می‌کند. خط Lb جهت محور طویل بودین و ناحیه گردن را نشان می‌دهد (شکل ۶). محور میانی (Y) بیضی و اتنش نهایی با Lb موازی است. Lb و Sib می‌توانند مایل یا عمود بر محور طویل (Le) و خطواره کشیدگی باشند. N. عرض فاصله بین بودین‌هاست و عمود بر Sib اندازه‌گیری می‌شود. D. جانبی بین بودین‌هاست و عمود بر Sib نرمال اندازه‌گیری می‌شود. L و W به ترتیب طول و عرض بودین‌های منفرد هستند. L و W به ترتیب موازی و عمود بر Sb (سطح اصلی بلوک بودین در تماس با سنگ میزان) اندازه‌گیری می‌شوند. سه پارامتر زاویه‌ای شامل θ (زاویه بین Sb و Sib)، α (چرخش نسبی بلوک یا زاویه حاده بین Se و Sb) و θ' (زاویه حاده بین Se و Sib) در صفحه مقطع عرضی محاسبه شد (Goscombe et al., 2004) مقطع عرضی عمود بر Lb و Se است. صفحه مقطع عرضی عمود بر Lb و Se است. بودین‌های S-slip با Sib رو به عقب دارای مقادیر θ و N/L کمتری نسبت به بودین‌های A-slip با Sib رو به جلو هستند.

ساختارهای بودین بازسازی شده

برخی از رشته بودین‌ها شواهدی از ادامه دگرشكلي بلوک‌های بودین، پس از تکه شدن نشان می‌دهند (Hanmer and Passchier, 1991) شده را می‌توان به بودین‌های بازسازی شده و بودین‌های متوالی طبقه‌بندی کرد (Goscomb et al., 2004). بودین‌های بازسازی شده در زمانی مشخص، پس از طویل شدگی اولیه و در معرض فاز دوم کوتاه شدگی که تقریباً موازی با لایه‌بندی است، ایجاد می‌شوند. در گستره مورد مطالعه بودین‌های قبل از چین خوردگی می‌توانند در مرحله اولیه تغییر شکل ایجاد شده و در مراحل نهایی به وسیله کوتاه شدگی و برش خوردگی حاصل از همگرایی مرحله نهایی دگرشكلي شوند (شکل ۵-ب). در این گستره بودین‌های با نسبت ابعاد بالا چین خورده‌اند. نواحی گردن بودین در برخی از لولاهای چین (شکل ۵-ط) نشان‌دهنده کوتاه شدگی بعدی لایه‌های بودیناژ شده است. به عبارت دیگر، چین خوردگی یک لایه بودیناژ شده به‌طور معمول باید شامل برهمنهی دگرشكلي‌های جداگانه، با یک دوره طولانی کشیدگی موازی لایه و به دنبال آن یک دوره کوتاه شدگی موازی با لایه باشد (Sengupta, 1983).

پارامترهای هندسی بودین‌ها

ساختارهای بودین در این ناحیه بر اساس مطالعات میدانی و خصوصیات الگوهای هندسی و جنبش شناختی مشخص طبقه‌بندی می‌شوند. این مطالعه خود را در درجه اول به دو عضو انتهایی بودین‌های نامتقارن در شرایط دو بعدی که دارای تقاضه مونوکلینیک هستند محدود کرده است. همه بودین‌ها در یک مقطع عرضی، عمود بر محور بودین اندازه‌گیری شدند. برش راستگرد در سراسر این ناحیه، بر اساس پورفیروکلاست‌های غلافی شناسایی شد (Passchier and Simpson, 1986; Hanmer and Passchier, 1991; Goscombe et al., 2004). بودین‌های دومینو و نوار برشی از مقیاس رخنمون تا میکروسکوپی نامتقارن هستند. ویژگی‌های هندسه بودین توسط بسیاری از محققان بر اساس مطالعات تجربی و عددی توصیف شده است (Hanmer, 1986; Goldestein, 1988).

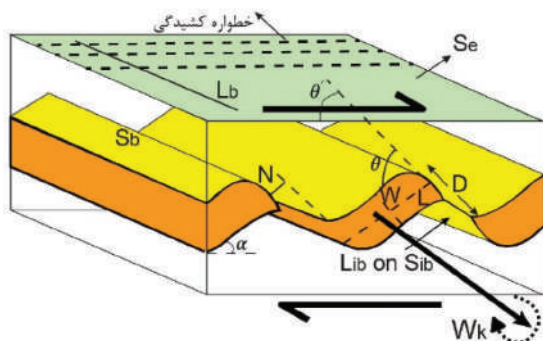


شکل ۵. تصاویر بودین‌های نامتفاوت در گستره دورود، پهنه سندج-سیرجان. جهت برش در تمامی تصاویر راستگرد است.
 الف، ب و (ج) بودین‌های نوار برشی، (د) بودین‌های بازسازی شده همراه با چین خورددگی، (ر) رشته بودین‌های نوار برشی، (س) دومینو بودین،
 (ط) دومینو بودین‌های چین خورده، (ع) رشته دومینو بودین. این ساختارها در سنگ‌های آهکی-دولومیتی و کوارتزیتی شکل گرفته‌اند

(Goscombe and Passchier, 2003; Rodrigues and Pamplona, 2018) است. نمودار شکل ۷-الف) ارتباط بین چرخش نسبی بلوكهای بودین (α) و شکل بلوكهای بودین (θ) را برای ساختارهای نامتقارن که به موازات برگوارگی تشکیل شده‌اند نشان می‌دهد. مقدار θ برای بودین نوار برشی کمتر از دومینو است. با توجه به ارتباط مستقیم بین θ و α ، هرچه θ بالاتر باشد، چرخش بلوكها آسان‌تر است. با توجه به همبستگی بین θ و L/W ، بودین‌های نوار برشی در محدوده L/W بالا و θ پایین پراکنده هستند، درحالی‌که این نسبت‌ها در بودین‌های دومینو بر عکس هستند (شکل ۷-ب). ارتباط بین نسبت محوری و چرخش نسبی بلوكهای بودین را می‌توان از نمودار شکل ۷-ج) نشان دست آورد. همان‌طور که در نمودار شکل ۷-ج) نشان داده شده است، نسبت محوری (L/W) بودین‌های نوار برشی بیشتر از انواع دومینو است. مقدار میانگین چرخش نسبی بلوكهای بودین (α) برای بودین‌های دومینو بیشتر از بودین‌های باند برشی است. در بودین‌های دومینو با نسبت محوری پایین، چرخش (α) به خود بلوك محدود می‌شود و در بودین‌های نوار برشی، α با افزایش نسبت محوری افزایش می‌یابد. با توجه به نمودار شکل ۷-د) و ارزیابی ارتباط بین کشش نرمالایز شده (M/L) و اتساع Sib نرمالایز شده (N/L)، مقدار L/N در بودین‌های دومینو بالا است و باعث پر شدن رگه‌ها می‌شود. مقدار L/M در بودین نوار برشی بیشتر از بقیه است و منجر به جدا شدن کامل بلوكهای بودین مجاور می‌شود. شکل ۷-ر) ارتباط بین θ و مقدار نرمالایز شده جابجایی روی سطح میانی بودین‌ها (D/W) را نشان می‌دهد. بودین‌های نوار برشی با تغییرات بالای D/W و θ کمتر، جابجایی بیشتری را تجربه کرده‌اند، درحالی‌که این مقدار در بودین‌های دومینو کم است.

عدد تاوایی جنبش شناختی

در طی چند دهه اخیر، روش‌های مختلفی برای تخمین عدد تاوایی جنبش شناختی در سنگ‌های دگرشکل شده در طبیعت ارائه شده است. سیستم‌های پورفیروکلاست، فابریک‌های کریستالوگرافی، مجموعه‌های دگرشکل شده

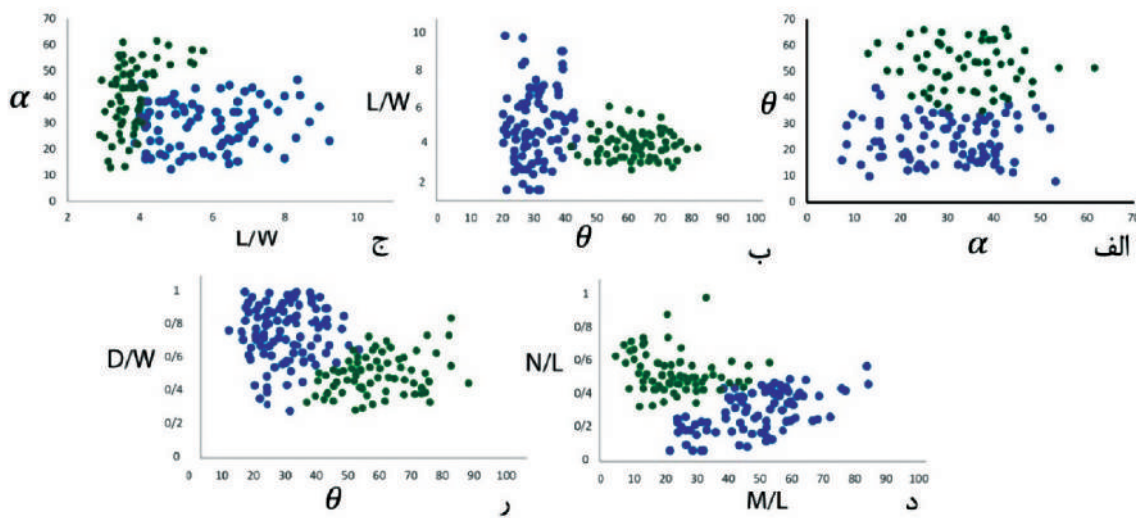


شکل ۶. نامگذاری و نمادهای مورد استفاده برای عناصر ساختاری بودین نامتقارن و پارامترهای هندسی (Goscombe and Passchier, 2003). Sb خط اتصال بین بلوك بودین و سنگ میزان و همچنین سطح ببرونی بودین است. Sib سطح بین بودین است. Lb جهت محور طویل بودین است. محور میانی (Y) بیضی و انتشار نهایی با موازی است. L و W به ترتیب طول و عرض بودین های منفرد هستند. D جابجایی جانبی بین بودین هاست و عمود بر Sib اندازه‌گیری می‌شود. N اتساع Sib (عرض فاصله بین بودین) است و عمود بر Sib اندازه‌گیری می‌شود. θ زاویه بین Sb و Sib است. α چرخش بلوك نسبی یا زاویه حاده بین Se و Sb است. θ' زاویه حاده بین Se و Sib است. Wk یک بردار تاوایی است. جهت برشی محض راستگرد است (اصلاح شده پس از Rodrigues and Pamplona, 2018).

تحلیل هندسی بودین‌ها

در گستره مورد مطالعه ساختار بودین به فراوانی در مقیاس متوسط مشاهده شده است. دو عضو انتهایی بودین نامتقارن را به صورت دوبعدی و در صفحات عمود بر محور بودین، با تقارن مونوکلینیک مطالعه کردیم. توصیف جنبش شناختی بودین‌های نامتقارن مستلزم اطلاعاتی در مورد جهت لغزش روی سطح جدایش شده بودین‌ها است. لایه‌های کوارتزی و آهکی با مقاومت بالا شرایط مناسبی برای ایجاد این ساختار در سنگ میزان فیلونیتی و شیستی گستره مورد مطالعه دارند. بودین‌های نامتقارن را می‌توان به عنوان شاخص‌های جنبش شناختی استفاده کرد (Hanmer, 1986). در این مطالعه هر دو بودین‌های دومینو و بودین نوار برشی اندازه‌گیری شده است. تشکیل بودین‌های نامتقارن رو به جلو یا عقب به نسبت ابعاد بودین اولیه L/W ، زاویه بین لایه و بردارهای ویژه کششی جریان، پارامترهای جریان و رئولوژی بستگی دارد (Passchier and Druguet, 2002).

رسم نمودارها برای نمایش داده‌های اندازه‌گیری شده و ایجاد یک ارتباط قابل قبول بین پارامترهای بودین و نوع لغزش



شکل ۷. نمودارهای ارتباط بین پارامترهای هندسی بودینها، (الف) چرخش بلوك بودين (θ)، (ب) شکل بلوك بودين (θ) در مقابل نسبت ابعاد (L/W)، (ج) نسبت ابعاد (L/W) در مقابل چرخش بلوك (α)، (د) کشن نرمالايز شده (M/L) در مقابل اتساع نرمالايز شده (D/W)، (ه) شکل بلوك بودين (θ) در مقابل مقدار جابجایي نرمالايز شده در سطح ميانی بودين (D/W). دایره های آبی و سبز رنگ به ترتیب موقعیت بودین های نوار برشی و بودین های دومینو را نشان می دهند

در سنگ های دگرشکل یافته، تاوی جریان با تغییر زمان و موقعیت تغییر می کند (Tikoff and Fossen, 1995). در اثر چنین شرایطی، با فرض تغییر شکل در حالت پایدار تاوی سنگ های دگرشکل یافته را می توان با میانگین عدد تاوی Wm (تخمین زد. در شرایط حالت پایدار، Wk و Wm) (Passchier, 1988) برابر در نظر می گیرند. مشکل فرض تغییر شکل حالت پایدار (Passchier and Trouw, 2005) با استفاده از کمیت Wm که نشان دهنده مقدار میانگین Wk در طول زمان و مکان است (Passchier, 1988) رفع شود.

رگه های کششی، دایک ها و چین های کششی و جهت گیری محورهای واتنش نهایی با توجه به مرزهای پهنه بر شی روش هایی هستند که به طور معمول برای تعیین کمیت تاوی استفاده می شوند (Passchier, 1987; Wallis, 1992; Simpson and DePaor, 1993; Tikoff and Fossen, 1995; Gomez-Rivas et al., 2007).

تحلیل تاوی بر اساس جریان های دوبعدی با هندسه مونوکلینیک یا ارتورومبیک با بردار تاوی کم و بیش موازی با محور Y بیضی واتنش است. در همه روش ها برای تخمین Wk جریان را در حالت همگن و پایدار فرض می کنند. یکی دیگر از محدودیت های تحلیل تاوی دوبعدی، فرض دگرشکلی واتنش صفحه ای است (Tikoff and Fossen, 1995; Xypolias, 2010). Wk در مقیاسی بین صفر و یک اندازه گیری می شود. مقدار صفر برش محض و یک برش ساده را نشان می دهد. مقیاس Wk خطی نیست، اما می توان آن را با در نظر گرفتن درصد تغییر شکل ناشی از برش ساده به مقیاس خطی تبدیل کرد (Forte and Bailey, 2007). در جریان لحظه ای و $Wk = 0.71$ ، مولفه های برش محض و ساده به طور مساوی به وقوع می پیوندند (Law et al., 2004).

توزیع هذلولی بودین های نامتقارن

در روش توزیع هذلولی (Simpson and De Paor 1993, 1997) از موقعیت پورفیروکلاست برای اندازه گیری عدد تاوی جنبش شناختی استفاده می شود. این روش امکان تحلیل ساده و سریع Wm را با استفاده از جهت یافته گی نهایی پورفیروکلاست های صلب و دگرشکل شده و سایر شاخص های جنبش شناختی از جمله بودین های نامتقارن فراهم می کند. در گستره مورد مطالعه برای تخمین عدد تاوی جنبش شناختی از جهت یافته گی نهایی بودین های دگرشکل یافته صلب و نامتقارن استفاده

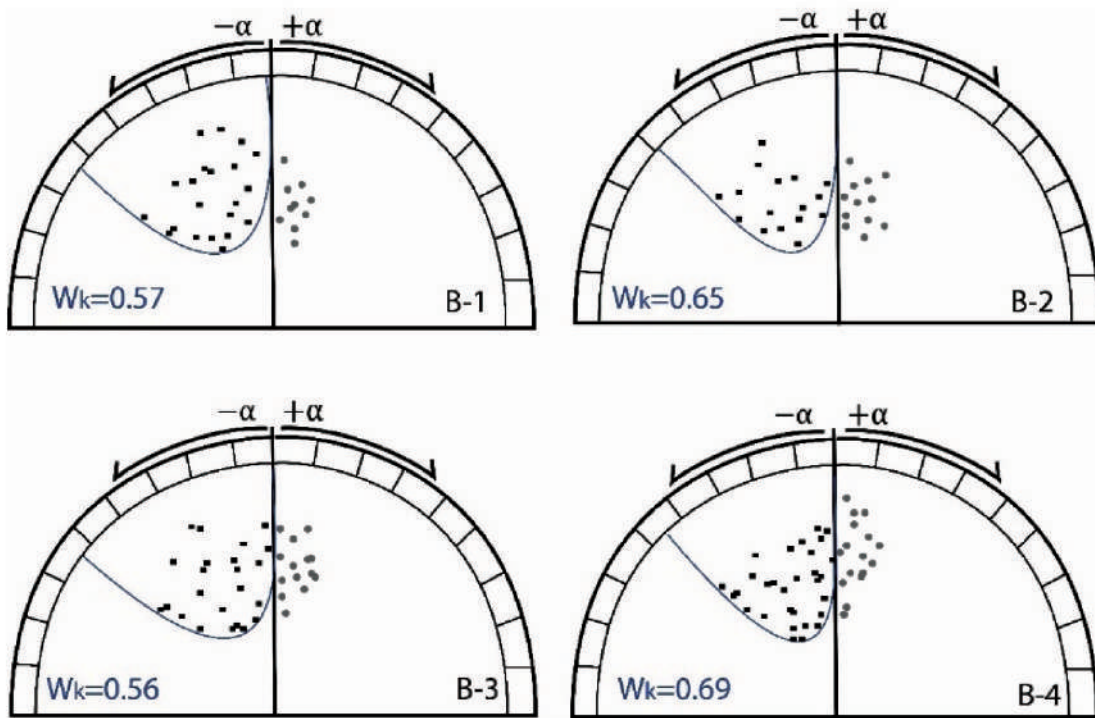
مولفه برش ساده است و جهت یافتنگی بردار ویژه دیگر (کوتاه شدگی) به توزیع برش محض بستگی دارد. یکی از یال های این هذلولی به عنوان مجانبی با برگوارگی میلونیتی انتخاب می شود، با این فرض که تقریباً موازی با آپوفیز جریان کششی است، درحالی که یال دیگر هذلولی برای رسم جهت آپوفیز جریان ناپایدار در نظر می گیرند (Xypolias, 2010). در این مورد، هذلولی باید با مرز بین نقاط مربوط به داده های بودین نامتقارن با چرخش به جلو و چرخش به عقب تعريف شود.

بنابراین، کسینوس زاویه بازشدگی، α ، هذلولی به دست آمده مقدار W_k را نشان می دهد (Bobbyarchick, 1986):

$$W_k = \cos(\alpha) \quad (1)$$

میانگین عدد تاوایی جنبش شناختی اندازه گیری شده از چهار رخنمون بین $0/56$ تا $0/69$ است و نشان می دهد در گستره مورد مطالعه یک برش عمومی ($1 < W_k < 0$) غالب است (شکل ۸).

شده است. این بودین ها در فاز اول دگر شکلی در لایه های کوارتزی مناسب تشکیل شده و فاز دوم دگر شکلی را تجربه کردند. تخمین عدد تاوایی جنبش شناختی به روش توزیع هذلولی بر این فرض استوار است که جهت یافتنگی محور طویل بودین های نامتقارن با تمایل رو به عقب در میان زاویه حاده بین بردارهای ویژه جریان، جهت یافتنگی بردار ویژه ناپایدار را مشخص می کند (Forte and Bailey, 2007). بردار ویژه پایدار موازی با برگوارگی فرض شده است R (Simpson and DePaor, 1997) نسبت محوری (R) بودین ها و زاویه (α) بین محور بلند بودین (L ، شکل ۶) و مرز پهنه برشی یا برگوارگی برای حدود ۴۹ نمونه در صفحه XZ و عمود بر محور بودین اندازه گیری شد. زاویه α و مقادیر R در یک شبکه هذلولی رسم شدند (De Paor, 1988). هذلولی نشان دهنده زاویه حاده بین جهت یافتنگی های بردار ویژه است، طوری که یک بردار ویژه به موازات صفحه جریان



شکل ۸. نیمی از شبکه توزیع هذلولی داده های جنبش شناختی تاوایی از چهار رخنمون بودین در گستره دورود. زاویه بین محور طویل بودین و برگوارگی (α) است، با مقادیر α مثبت نشان دهنده تمایل رو به جلو و مقادیر α منفی نشان دهنده تمایل رو به عقب بودین های نامتقارن است. نسبت های محوری (R) بودین های نوار برشی و دومینو نیز اندازه گیری می شوند. هر دو مقدار α و R بر روی پک استریونت هذلولی رسم می شوند (De Paor, 1988). نمادهای مربعی شکل نشان دهنده بودین های نوار برشی رو به عقب هستند و نمادهای دایره ای شکل بودین های دومینو رو به جلو را نشان می دهند

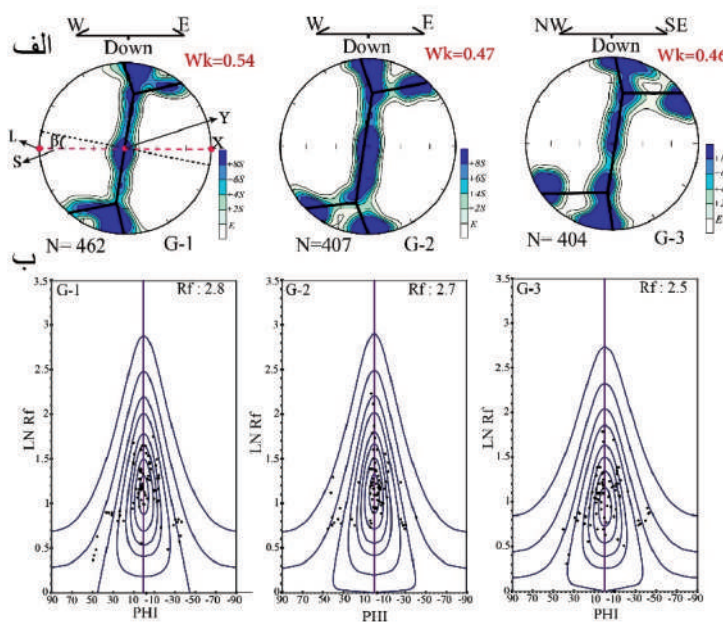
زاویه β بین عمود بر بخش گیردل مرکزی فابریک محور c کوارتز و برگوارگی (شکل ۹-الف) و R_{xz} (نسبت واتنش نهایی در صفحه XZ)، W_m را می‌توان از طریق رابطه زیر (Xypolias, 2009) به دست آورد:

$$W_m = \cos \left[\tan^{-1} \left(\frac{1 - R_{xz} \tan^2 \beta}{(1 + R_{xz}) \tan \beta} \right) \right] \quad (2)$$

با استفاده از روش Rf/ϕ (Ramsay, 1967) در صفحه XZ و بر روی نشانگرهای بیضوی شکل دانه‌های فلدسپار موجود در گرانیت میلیونیت‌های دگرشکل شده گستره مورد مطالعه برآورد شد. نسبت واتنش محاسبه شده در صفحه XZ بین $2/8$ و $2/5$ می‌باشد (شکل ۹-ب). بر اساس رابطه ۲، عدد تواوی جنبش شناختی محاسبه شده در نمونه‌های G1، G2 و G3 به ترتیب $0/54$ ، $0/47$ و $0/46$ می‌باشد (Xypolias, 2010).

فابریک محور c کوارتز

تغییر شکل درون کریستالی کوارتز با ایجاد الگوی جهت یافته‌گی ترجیحی محور c LPO کوارتز نقش مهمی در تحلیل هندسی و جنبش شناختی جریان دارد (Passchier et al., 2005). نمونه‌های جهت‌دار گرانیت میلیونیت در گستره دورود جمع‌آوری شد و مقاطع نازک عمود بر برگوارگی و موازی با خطواره کششی تهیه شد. فابریک‌های محور c کوارتز گرانیت میلیونیت در طول تغییر شکل D1 شروع به توسعه کردند. با این حال، تبلور مجدد دینامیکی کوارتز در طول برهم نهی دگرشکلی دوم ادامه یافت و بنابراین ریزساختارهای ثبت شده بیشتر D2 را منعکس می‌کنند. الگوهای LPO محور c کوارتز از این نمونه‌ها در شکل ۹ نشان داده شده است. همه این الگوها کمربندهای مقاطع Type-I را به صورت مورب نسبت به برگوارگی و خطوارگی نشان می‌دهند و همه الگوهای LPO عدم تقارن نشان می‌دهند که نشان دهنده جهت برشی غیرهم محور راست‌گرد می‌باشد. در طول برش عمومی، اسکلت گیردل مرکزی فابریک محور c کوارتز عمود بر صفحه برش در نظر می‌گیرند (Sullivan and Law, 2007). با دانستن



شکل ۹. الف) تصویر استریوگرافی الگوهای محور c کوارتز، از گرانیت میلیونیت. فواصل کنتور: ۱، ۲، ۳، ۴، ۵، ۶، ۷ و ۸ برابر توزیع یکنواخت. N = تعداد دانه‌های اندازه‌گیری شده در هر نمونه. در تمام این تصاویر، برگوارگی (S) عمودی است و خطوارگی (L) در امتداد برگوارگی افقی است. X و Y به ترتیب محور بزرگ و متوسط بیضوی واتنش را نشان می‌دهند، ب) تخمین پارامترهای واتنش نهایی Rf/ϕ از روش Rf/ϕ برای مجموعه مشابهی از دانه‌های فلدسپار

بحث

بالای مولفه برش ساده رخ داده است. نتایج به دست آمده تغییر شکل فضایی را نشان می‌دهد و تاریخچه تغییر شکل حالت ناپایدار را ثبت می‌کند (Xypolias 2009, 2010). دلیل کم شدن سیستماتیک تخمین‌های تواوی با استفاده از کلاست‌ها، روان‌کاری می‌باشد به طور معمول، در ارتباط با زمینه-کلاست رخ می‌دهد (Johnson, 2009). فابریک محور c کوارتز نشان‌دهنده واتنش لحظه‌ای نهایی می‌باشد (Xypolias, 2009)، بنابراین، Wm برآورد شده اطلاعاتی از تاریخچه واتنش پیش‌روندۀ ارائه نمی‌دهد، بلکه معیار آخرین واتنش لحظه‌ای است. در مقابل، Wm تخمین زده شده با روش توزیع هوزلولی میانگین عدد تواوی برش پیش‌روندۀ را ارائه می‌دهد (Tiwari et al., 2020). با توجه به اینکه هر دو روش کم‌وبیش نتایج یکسانی را نشان می‌دهند، آخرین واتنش لحظه‌ای برابر با میانگین تواوی برش پیش‌روندۀ در گستره مورد مطالعه است.

میانگین عدد تواوی جنبش شناختی (Wm) بر اساس دو روش به طور تقریبی 55% برآورد شد. این نتیجه به خوبی با کارهای قبلی در این زمینه بر اساس روش‌های مختلف مطابقت دارد (Sarakarinejad and Derikvand, 2017). برای تخمین درصد برش ساده و برش محض با استفاده از Wk از رابطه استفاده شد (Bailey et al., 2004). تغییر شکل‌های با مولفه برش محض غالباً دارای مقادیر $Wk < 30\%$ هستند که منطبق بر مولفه برشی ساده کمتر از 20% درصد است. تغییر شکل‌های با مولفه برش ساده غالباً دارای مقادیر $Wk > 95\%$ هستند که منطبق بر 80% درصد مولفه برشی ساده است. تغییر شکل‌های برشی عمومی دارای مقادیر Wk بین 0% و 95% هستند. نتایج ما نشان می‌دهد که گستره مورد مطالعه تحت دگر‌شکلی ترافشارشی امتداد مناطق برشی دارند. در روش توزیع هذلولی بودین‌های نامتقارن در چهار رخمنون، Wk در محدوده 0.56% تا 0.69% (شکل ۶) محاسبه شد. Wk در روش فابریک‌های محور c کوارتز 46% تا 54% اندازه‌گیری شده است (شکل ۷). نتایج هر دو روش حاکی از همپوشانی در گستره مقادیر Wm است (Xypolias, 2010). مقادیر Wm به دست آمده نشان می‌دهد، برش در این ناحیه در شرایط برش عمومی با تاثیر

1. Pure-shear dominated

2. Simple-shear dominated

در گستره مورد مطالعه لایه‌های کوارتزی و سنگ‌های میلونیتی درجه متوسط تا بالا مشاهده شده است. این سنگ‌ها در طول یک رژیم ترافشارشی مایل بین شمال گندوانا و جنوب اوراسیا تحت سه فاز تغییر شکل (Sarkarinejad and D3، D1 و D2) قرار دارند (Derikvand, 2017). بخش‌بندی واتنش در گرانیت میلونیت‌ها و ساختارهای بودین‌نامتقارن شامل جابجایی‌های شبیل‌لغز و امتداد‌لغز هم‌زمان در سیستم راندگی شکل‌پذیر است که در طول یک سیستم ترافشارش راستگرد ایجاد شده است. ساختارهای نامتقارن با جهت برشی راستگرد، ترکیب هم‌زمان حرکت برش ساده و کوتاه شدگی عمود بر آن و تغییرات سیستماتیک در مقادیر عدد تواوی جنبش‌شناختی واتنش نهایی همگی بیانگر رژیم ترافشارش راستگرد در گستره مورد مطالعه می‌باشد. بودین‌های نوار برشی و دومینو در گستره مورد مطالعه به فراوانی یافت می‌شوند. بودین‌های نوار برشی لغزش سین‌تیک نشان می‌دهند. آنها تمایل رو به عقب و چرخش آنتی‌تیک نسبت به جهت برش نشان می‌دهند. بودین‌های دومینو با لغزش آنتی‌تیک شکل گرفته‌اند و تمایل رو به جلو نشان می‌دهند. وقتی نسبت ابعاد بودین‌ها بزرگ باشد، بلوک‌های بودین به طور جداگانه چین می‌خورند و تا زمانی که فاصله بین بلوک‌های بودین زیاد باشد، کوتاه شدگی آنها را به هم نزدیک می‌کند. شواهد ساختاری گستره مورد مطالعه (بودین‌های نامتقارن و پورفیروکلاست‌های غلافی کوارتز و فلدسپات) نشانگر جهت برش راستگرد می‌باشد.

هر دو روش توزیع هذلولی بودین‌های نامتقارن و محور c کوارتز دلالت بر بخش بزرگی از تغییر شکل شکل‌پذیر در امتداد مناطق برشی دارند. در روش توزیع هذلولی بودین‌های نامتقارن در چهار رخمنون، Wk در محدوده 0.56% تا 0.69% (شکل ۶) محاسبه شد. Wk در روش فابریک‌های محور c کوارتز 46% تا 54% اندازه‌گیری شده است (شکل ۷). نتایج هر دو روش حاکی از همپوشانی در گستره مقادیر Wm است (Xypolias, 2010). مقادیر Wm به دست آمده نشان می‌دهد، برش در این ناحیه در شرایط برش عمومی با تاثیر

- Alavi, M., 1994. Tectonics of the Zagros orogenic belt of Iran: new data and interpretations. *Tectonophysics*, 229, 211-38.
- Bailey, C.M., Francis, B.E. and Fahreney, E.E., 2004. Strain and vorticity analysis of transpressional high-strain zones from the Virginia Piedmont, USA. *Geological Society London, Special Publication*, 224, 249-264.
- Berberian, M. and King, G. C. P., 1981. Towards a paleogeography and tectonic evolution of Iran. *Canadian Journal of Earth Sciences* 12, 210-65.
- Bobyarchick, A.R., 1986. The eigenvalues of steady flow in Mohr space. *Tectonophysics* 122 (1-2), 35-51.
- Chew, D.M., 2003. An excel spreadsheet for finite strain analysis using the Rf/Φ technique. *Computers and Geosciences*, 29, 795-799.
- Carreras, J., Cosgrove, J.W. and Druguet, E., 2013. Strain partitioning in banded and/or anisotropic rocks: Implications for inferring tectonic regimes. *Journal of Structural Geology*, 50.
- Derikvand, S., 2022. Strain pattern and vorticity analysis in the transpressional Kaman-dan area within the Sanandaj-Sirjan Metamorphic Belt, Iran. *Journal of Structural Geology*, 158, 104595.
- Derikvand, S., Shoorangiz, M., Dehsarvi, L. H. and Sarkarinejad, K. 2023. Kinematic analyses of the asymmetric boudins in the Tutak area within the Zagros hinterland fold-and-thrust belt, Iran. *Journal of Asian Earth Sciences*, 247, 105597
- De Paor, D.G., 1988. Rf/o strain analysis using an orientation net. *J. Struct. Geol.* 10 (4), 323-333.
- Etchecopar, A., 1977. A plane kinematic model of progressive deformation in a polycrystalline aggregate. *Tectonophysics*, 39, 121-139.
- Forte, A.M. and Bailey, C.M., 2007. Testing the utility of the porphyroblast hyperbolic dis-
- و معتبرتری در خصوص ویژگی‌های مختلف تغییر شکل، مانند عدد تاوایی جنبش شناختی و دمای تغییر شکل به دست آمده آورند.
- ### نتیجه‌گیری
- بررسی الگوی واتنش و ماهیت دگرشکلی با استفاده از جهت یافته‌گی محور σ کوارتر (LPO)، واتنش نهایی و تحلیل تاوایی در ناحیه دورود، واقع در پهنه سندج-سیرجان در غرب ایران انجام شده است. دگرشکلی حاصل از سه فاز دگرشکلی ساختارهای مختلفی از قبیل چین‌خوردگی‌های مکرر، بودین‌ها، برگوارگی و خطوارگی‌ها را ایجاد کرده است. این ساختارها برای تخمین عدد تاوایی جنبش شناختی و جهت برش استفاده شده‌اند. بودین‌های نامتقارن در لایه‌های کوارتزی که در میان شیسته‌ها، سنگ‌آهک‌ها و میلیونیت‌ها قرار دارند، ایجاد شده‌اند. این بودین‌ها در دو گروه دومینو بودین‌ها و بودین‌های نوار برشی قرار می‌گیرند. گیردل‌های نامتقارن فابریک‌های محور σ کوارتر، بودین‌های نامتقارن و انواع پورفیروکلاست‌ها نشان‌دهنده برش راستگرد (از بالا به سمت جنوب شرق) می‌باشد. مقایسه نتایج اعداد تاوایی جنبش شناختی محاسبه شده از روش‌های فابریک محور σ کوارتر ($46^{\circ}/54^{\circ}$) و توزیع هذلولی ($69^{\circ}/56^{\circ}$) نشان می‌دهد، تطابق خوبی میان این روش‌ها وجود دارد. بنابراین، بودین‌های نامتقارن را می‌توان به طور قابل اعتماد برای تخمین W_m یک گستره تعییر شکل یافته استفاده کرد. W_m در گستره‌ای از $46^{\circ}-69^{\circ}$ تغییر می‌کند و نشان‌دهنده یک رژیم برشی عمومی با مولفه برشی ساده در حدود $48^{\circ}-50^{\circ}$ درصد است.
- ### منابع
- ایزدی‌کیان، ل., پیری، ن., اکبری، م. ج. و مولایی، م., ۱۳۹۸. بررسی زمین‌ساخت فعال گسل‌های تلخاب و توزلوجل و نقش آنها در شکل‌گیری تالاب میقان، اراک. *فصلنامه زمین‌شناسی ایران*, ۵۸، ۱۰-۱۴.
- شیخ‌الاسلامی، م. ر., ۱۳۹۸. تحلیل دو بعدی واتنش پایدار در مرمره‌ای بودین دار ناحیه خلچ با استفاده از دایره مور، جنوب مشهد. *فصلنامه زمین‌شناسی ایران*, ۷۵-۶۳.

- tribution method of kinematic vorticity analysis. *Journal of Structural Geology*, 29, 983-1001.
- Fossen, H., Tikoff, B. and Teyssier, C., 1994. Strain modeling of transpressional and transtensional deformation. *Norsk geologisk tidsskrift*, 74, 134-145.
 - Goldstein, A.G., 1988. Factors affecting the kinematic interpretation of asymmetric boudinage in shear zones. *Journal of Structural Geology*, 10, 707-715.
 - Gomez-Rivas, E., Bons, P.D., Griera, A., Carreras, J., Druguet, E. and Evans, L., 2007. Strain and vorticity analysis using smallscale faults associated drag folds. *Journal of Structural Geology*, 29, 1882-1899.
 - Goscombe, B. and Passchier, C.W., 2003. Asymmetric boudins as shear sense indicators an assessment from field data. *Journal of Structural Geology*, 25, 575-589.
 - Goscombe, B., Passchier, C.W. and Hand, M., 2004. Boudinage classification: end member boudin types and modified boudin structures. *Journal of Structural Geology*, 26, 739-763.
 - Grasemann, B., Fritz, H. and Vannay, J.C., 1999. Quantitative kinematic flow analysis from the main central thrust zone (NWHimalaya, India): implications for a decelerating strain path and the extrusion of orogenic wedges. *Journal of Structural Geology*, 21, 837-853.
 - Hanmer, S., 1986. Asymmetrical pull-aparts and foliation fish as kinematic indicators. *Journal of structural geology*, 8 (2), 111-122.
 - Hanmer, S. and Passchier, C., 1991. Shear-Sense Indicators: A Review. *Geological Survey of Canada, Paper 90-17*, 72.
 - Johnson, S.E., 2009. Porphyroblast rotation and strain localization: debate settled! *Geology*, 37, 663-666.
 - Law, R.D., 2010. Moine thrust zone mylonites at the Stack of Glencoul: II. results of vorticity analyses and their tectonic significance. In: Law, R.D., Butler, R.W.H., Holdsworth, R.E., Krabbendam, M., and Strachan, R.A. (eds.), *Continental Tectonics and Mountain Building: The Legacy of Peach and Horne*. Geological Society of London, Special Publications, 335, 579-602.
 - Law, R.D., Searle, M.P. and Simpson, R.L.O., 2004. Strain, deformation temperatures and vorticity of flow at the top of the Greater Himalayan slab, Everest, Tibet. *Journal of the Geological Society of London*, 161, 305-320.
 - Mandal, N. and Khan, D., 1991. Rotation, offset and separation of oblique-fracture (rhombic) boudins: theory and experiments under layer-normal compression. *Journal of Structural Geology*, 13, 349-356.
 - Mohajjel, M. and Fergusson, C.L., 2000. Dextral transpression in Late Cretaceous continental collision, Sanandaj-Sirjan Zone, western Iran. *Journal of Structural Geology*, 22, 1125-1139.
 - Mohajjel, M., Fergusson, C.L. and Sahan-di, M.R., 2003. Cretaceous-Tertiary convergence and continental collision, Sanandaj-Sirjan Zone, western Iran. *Journal of Asian Earth Science*, 21, 397-412.
 - Passchier, C.W., 1987. Stable positions of rigid objects in non-coaxial flow: a study in vorticity analysis. *Journal of Structural Geology*, 9, 679-690.
 - Passchier, C.W., 1988. Analysis of deformation paths in shear zones. *Geologisches Rundschau*, 77, 309-318.
 - Passchier, C.W. and Druguet, E., 2002. Numerical modeling of asymmetric boudinage. *Journal of Structural Geology*, 24, 1789-1803.
 - Passchier, C.W. and Simpson, C., 1986. Porphyroclast systems as kinematic indicators. *Journal of Structural Geology*, 8, 831-843.
 - Passchier, C.W. and Trouw, R.A.J., 2005. *Microtectonics*. Springer, Berlin, 366.
 - Platt, J.P. and Behrmann, J.H., 1986.

- Structures and fabrics in a crustal scale shear zone, Betic Cordilleras, S.E. Spain. *Journal of Structural Geology*, 8, 15-34.
- Ramsay, J.G., 1967. *Folding and fracturing of rocks*. McGraw-Hill, New York, 568.
 - Ricou, L.E., 1971. Le croissant ophiolitique péri-arabe. Une ceinture de nappes mises en place au Crétacé supérieur. *Revue de Géographie Physique et de Géologie Dynamique*, XIII, 327-350.
 - Rodrigues, B.C., Peternell, M., Moura, A., Schwindinger, M. and Pamplona, J., 2016. PT path development derived from shearband boudin microstructure. *Journal of Structural Geology*, 90, 95-110.
 - Rodrigues, B.C. and Pamplona, J., 2018. Boudinage and shearband boudins: A meso to micro-scale tool in structural analysis. *Journal of Structural Geology*, 114, 280-287.
 - Sarkarinejad, K. and Azizi, A., 2008. Slip partitioning and inclined dextral transpression along the Zagros Thrust System, Iran. *Journal of Structural Geology*, 30, 116-136.
 - Sarkarinejad, K. and Derikvand, S., 2017. Structural and kinematic analyses of the basement window within the hinterland fold-and-thrust belt of the Zagros orogen, Iran. *Geological Magazine* 154 (5), 983-1000.
 - Sarkarinejad, K., Godin, L. and Faghih, A., 2009. Kinematic vorticity flow analysis and $^{40}\text{Ar}/^{39}\text{Ar}$ geochronology related to inclined ex-trusion of the HP-LT metamorphic rocks along the Zagros accretionary prism, Iran. *Journal of Structural Geology*, 31, 691-706.
 - Shafei Bafti, S. and Mohajjal, M., 2015. Structural evidence for slip partitioning and inclined dextral transpression along the SE San-andaj-Sirjan zone, Iran. *International Journal of Earth Sciences*, 104, 587-601.
 - Sengupta, S., 1983. Folding of boudinaged layers. *Journal of Structural Geology*, 5, 197-210.
 - Simpson, C. and De Paor, D.G., 1993. Strain and kinematic analysis in general shear zones. *Journal of Structural Geology*, 15, 1-20.
 - Simpson, C. and De Paor, D.G., 1997. Practical analysis of general shear zones using the porphyroblast hyperbolic distribution method: an example from Scandinavian Caledonides. In: Sengupta, S. (ed.), *Evolution of Geological Structures in Micro to Macro Scales*. Chapman and Hall, London, 169-184.
 - Stöcklin, J., 1968. Structural history and tectonics of Iran: A review. *American Association of Petroleum Geologists Bulletin*, 52, 1229-1258.
 - Sullivan, W. A., and Law, R. D. 2007. Deformation path partitioning within the transpres-sional White Mountain shear zone, California and Nevada. *Journal of Structural Geology*, 29(4), 583-599.
 - Swanson, M.T., 1992. Late Acadian-Al- leghenian transpressional deformation: evidence from asymmetric boudinage in the Casco Bay area coastal Maine. *Journal of Structural Geology*, 14, 323-341.
 - Swanson, M.T., 1999. Kinematic indica-tors for regional dextral shear along the Norum-bega fault system in the Casco Bay area, coastal Maine. *Geological Society of America, Special Paper*, 331, 1-24.
 - Tikoff, B. and Fossen, H., 1995. The limi-tations of three-dimensional kinematic vorticity analysis. *Journal of Structural Geology*, 17, 1771-1784.
 - Tikoff, B. and Teyssier, C., 1994. Strain modell-ing of displacement field partitioning in transpressional orogens. *Journal of Structural Geology*, 16, 1575-1588.
 - Tiwari, S.K., Beniest, A. and Biswal, T.K., 2020. Variation in vorticity of flow during exhumation of lower crustal rocks (Neoproterozoic Ambaji granulite, NW India). *Journal Structural Geology*, 130, 103912.

- Vernant, P., Nilforoushan, F., Hatzfeld, D., Abbasi, M.R., Vigny, C., Masson, F., Nankali, H., Martinod, J., Ashtiani, A., Bayer, R., Tavakoli, F. and Chery, J., 2004. Present-day crustal deformation and plate kinematics in the Middle East constrained by GPS measurement in Iran and northern Oman. *International Journal of Geophysics*, 157, 381-398.
- Wallis, S.R., 1992. Vorticity analysis in metachert from Sanbagawa Belt, SW Japan. *Journal of Structural Geology*, 14, 271-280.
- Warren, L.M., 2008. A giant subducting sausage. *Nature Geoscience*, 1, 154-155.
- Xypolias, P., 2009. Some new aspects of kinematic vorticity analysis in naturally deformed quartzites. *Journal of Structural Geology*, 31, 3-10.
- Xypolias, P., 2010. Vorticity analysis in shear zones: A review of methods and applications. *Journal of Structural Geology*, 32, 2072-2092.